






МНОГОСЕТОЧНЫЕ МЕТОДЫ НЕПОЛНОЙ ФАКТОРИЗАЦИИ

М. А. Баталов, В. П. Ильин

Институт вычислительной математики и математической геофизики

26.03.2024

Литература:

-  [Fedorenko R.](#) — The speed of convergence of one iterative process. — // USSR Computational Mathematics and Mathematical Physics. — 1964. — Т. 4, № 3. — С. 227—235.
-  [Bakhvalov N.](#) — On the convergence of a relaxation method with natural constraints on the elliptic operator. — // USSR Computational Mathematics and Mathematical Physics. — 1966. — Т. 6, № 5. — С. 101—135.
-  [Il'in V. P.](#) — One version of the multigrid method. — // Siberian Mathematical Journal. — 1985. — Март. — Т. 26, № 2. — С. 240—244.
-  Algebraic Multigrid Domain and Range Decomposition (AMG-DD/AMG-RD). /. — R. Bank [и др.] // SIAM Journal on Scientific Computing. — 2015. — Т. 37, № 5. — S113—S136.
-  [Shaidurov V.](#) — Some estimates of the rate of convergence for the cascadic conjugate-gradient method. — // Computers & Mathematics with

Applications. — 1996. — Т. 31, № 4. — С. 161—171 ; — Selected Topics in Numerical Methods.



Bornemann F. A., Deuffhard P. — The cascadic multigrid method for elliptic problems. — // Numerische Mathematik. — 1996. — Дек. — Т. 75, № 2. — С. 135—152.



Brandt A. — Algebraic multigrid theory: The symmetric case. — // Applied Mathematics and Computation. — 1986. — Т. 19, № 1. — С. 23—56.



Notay Y. — Algebraic multigrid and algebraic multilevel methods: a theoretical comparison. — // Numerical Linear Algebra with Applications. — 2005. — Т. 12, № 5/6. — С. 419—451.



Saad Y. — Iterative Methods for Sparse Linear Systems. — Second. — Society for Industrial, Applied Mathematics, 2003.



Василевский Ю., Ольшанский М. — Краткий курс по многосеточным методам и методам декомпозиции области: учеб.-метод. пособие. — МАКС Пресс, 2007. — (Формирование системы инновационного образования в МГУ / Моск. гос. ун-т им. М. В. Ломоносова).



[Notay Y.](#) — Analysis of two-grid methods: The nonnormal case. — // [Mathematics of Computation.](#) — 2020. — Т. 89. — С. 807–827.



[Vaněk P.](#) — Smoothed prolongation multigrid with rapid coarsening and massive smoothing. — // [Applications of Mathematics.](#) — 2012. — Февр. — Т. 57, № 1. — С. 1–10.



[Demidov D.](#) — AMGCL: An Efficient, Flexible, and Extensible Algebraic Multigrid Implementation. — // [Lobachevskii Journal of Mathematics.](#) — 2019. — Май. — Т. 40, № 5. — С. 535–546.



[Xu J.](#), [Zikatanov L.](#) — Algebraic multigrid methods. — // [Acta Numerica.](#) — 2017. — Т. 26. — С. 591–721.



[Il'in V. P.](#) — Iterative Preconditioned Methods in Krylov Spaces: Trends of the 21st Century. — // [Computational Mathematics and Mathematical Physics.](#) — 2021. — Нояб. — Т. 61, № 11. — С. 1750–1775.



[Gurieva Y. L.](#), [Il'in V. P.](#), [Petukhov A. V.](#) — On Multigrid Methods for Solving Two-Dimensional Boundary-Value Problems. — // [Journal of Mathematical Sciences.](#) — 2020. — Авг. — Т. 249, № 2. — С. 118–127.





[Reusken A.](#) — A Multigrid Method Based on Incomplete Gaussian

Elimination. — // Numerical Linear Algebra with Applications. — 1996. —
T. 3, № 5. — С. 369—390.



On Parallel Multigrid Methods for Solving Systems of Linear Algebraic
Equations. /. — M. Batalov [и др.] // Parallel Computational
Technologies / под ред. L. Sokolinsky, M. Zymbler. — Cham : Springer
Nature Switzerland, 2023. — С. 93—109.

Предобусловленные методы сопряженных направлений

Рассмотрим СЛАУ с с.п.о. матрицей

$$Au = f, \quad A^T = \{a_{t,s}\} \in \mathcal{R}^{N,N}, \quad u = \{u_t\}, \quad f = \{f_t\} \in \mathcal{R}^N.$$

Двухстороннее предобуславливание:

$$B = L_B U_B, \quad B^{-1} = U_B^{-1} L_B^{-1}, \quad U_B = L_B^T,$$

$$\bar{r}^0 = \bar{f} - \bar{A}\bar{u}^0, \quad \bar{p}^0 = \bar{r}^0, \quad n = 0, 1, \dots, : \quad (1)$$

$$\bar{u}^{n+1} = \bar{u}^n + \alpha_n \bar{p}^n = \bar{u}^0 + \alpha_0 \bar{p}^0 + \dots + \alpha_n \bar{p}^n,$$

$$\bar{r}^{n+1} = \bar{f} - \bar{A}\bar{u}^{n+1} = \bar{r}^n - \alpha_n \bar{A}\bar{p}^n = \bar{r}^0 - \alpha_0 \bar{A}\bar{p}^0 - \dots - \alpha_n \bar{A}\bar{p}^n,$$

Предобусловленные методы сопряженных направлений

Методы минимальных ошибок ($\gamma=0$), сопряженных градиентов ($\gamma=1$) и сопряженных невязок ($\gamma=2$).

$\gamma = 0, 1, 2$:

$$(\bar{A}^\gamma \bar{p}^n, \bar{p}^k) = (\bar{p}^n, \bar{p}^k)_\gamma = \rho_n^{(\gamma)} \delta_{k,n}, \quad \rho_n^{(\gamma)} = (\bar{p}^n, \bar{p}^n)_\gamma,$$

$$\mathcal{K}_{n+1}(\bar{r}^0, \bar{A}) = \text{Span} \{ \bar{r}^0, \bar{A}\bar{r}^0, \dots, \bar{A}^n \bar{r}^0 \},$$

$$\Phi_\gamma(\bar{r}^{n+1}) \equiv (\bar{r}^{n+1}, \bar{r}^{n+1})_{\gamma-2} = \Phi_\gamma(\bar{r}^0) - \sum_{k=0}^n (\sigma_k^{(\gamma)})^2 / \rho_k, \quad \sigma_k^{(\gamma)} = (\bar{r}^0, \bar{p}^k)_{\gamma-1}.$$

$\gamma = 1, 2$:

$$\alpha_n^{(\gamma)} = \sigma_n^{(\gamma)} / \rho_n^{(\gamma)}, \quad \bar{p}^0 = \bar{r}^0, \quad \bar{p}^{n+1} = \bar{r}^{n+1} + \beta_n^{(\gamma)} \bar{p}^n,$$

$$\beta_n^{(\gamma)} = -(\bar{r}^{n+1}, \bar{p}^n)_\gamma / \rho_n^{(\gamma)} = \sigma_{n+1}^{(\gamma)} / \sigma_n^{(\gamma)}, \quad \sigma_n^{(\gamma)} = (\bar{A}^{\gamma-1} \bar{r}^n, \bar{r}^n).$$

Предобусловленные методы сопряженных направлений

Предобусловленный метод минимальных ошибок (PME – Preconditioned Minimal Error). $\gamma = 0$:

$$v^n = \bar{u} - u^n, \quad \bar{r}^n = \bar{A}v^n, \quad \bar{u} = U_B u :$$

$$\begin{aligned} \bar{u} &= \bar{u}^0 + \alpha_0^{(0)} \bar{p}^0 + \dots + \alpha_n^{(0)} \bar{p}^n + \dots, \quad v^n = \alpha_n^{(0)} \bar{p}^n + \alpha_{n+1}^{(0)} \bar{p}^{n+1} + \dots, \quad \bar{r}^n = \\ &= \alpha_n^{(0)} \bar{A} \bar{p}^n + \alpha_{n+1}^{(0)} \bar{A} \bar{p}^{n+1} + \dots, \end{aligned}$$

$$\begin{aligned} \alpha_n^{(0)} &= (v^n, \bar{p}^n) / \rho_n^{(0)} = -\alpha_{n-1}^{(0)} (v^n, \bar{A} \bar{p}^{n-1}) / \rho_n^{(0)} = -\alpha_{n-1}^{(0)} (r^n, \bar{p}^{n-1}) / \rho_n^{(0)}, \\ u^{n+1} &= u^n + \alpha_n^{(0)} p^n. \end{aligned}$$

Процесс ортогонализации векторов Ланцоша:

$$\bar{p}^0 = \bar{A}r^0, \quad \bar{p}^1 = \bar{A}\bar{p}^0 - \bar{\alpha}_0 p^0, \quad n = 1, 2, \dots :$$

$$\bar{p}^{n+1} = \bar{A}\bar{p}^n - \bar{\alpha}_n \bar{p}^n - \bar{\beta}_n \bar{p}^{n-1},$$

$$\bar{\alpha}_n = (\bar{A}\bar{p}^n, \bar{p}^n) / \rho_n^{(0)}, \quad \bar{\beta}_n = (\bar{p}^n, \bar{p}^n) / \rho_{n-1}^{(0)}, \quad \rho_n^{(0)} = (\bar{p}^n, \bar{p}^n),$$

$$\sigma_0^{(0)} = (\bar{r}^0, \bar{A}^{-1} \bar{p}^0), \quad \bar{p}^0 = A r^0, \quad \sigma_0^{(0)} \leftarrow (r^0, r^0).$$

Односторонне предобусловленный метод ME ($\gamma = 0$):

$$L_B \bar{p}^n = \tilde{p}^n, \quad \tilde{r}^0 = L_B^{-1} r^0 :$$

$$\tilde{p}^0 = AB^{-1} r^0, \quad \tilde{p}^1 = AB^{-1} \tilde{p}^0 - \bar{\alpha}_0 \tilde{p}^0,$$

$$\tilde{p}^{n+1} = AB^{-1} \tilde{p}^n - \bar{\alpha}_n \tilde{p}^n - \bar{\beta}_n \tilde{p}^{n-1},$$

$$\bar{\alpha}_n = (AB^{-1} \tilde{p}^n, B^{-1} \tilde{p}) / \rho_n, \quad \bar{\beta}_n = (\tilde{p}^n, B^{-1} \tilde{p}^n) / \rho_{n-1}, \quad \rho_n = (\tilde{p}^n, B^{-1} \tilde{p}^n),$$

$$u^{n+1} = \tilde{u}^{n+1} = \tilde{u}^n + \alpha_n^{(0)} B^{-1} \tilde{p}^n,$$

$$\tilde{r}^0 = r^0, \quad \tilde{r}^{n+1} = \tilde{r}^n - \alpha_n^{(0)} AB^{-1} \tilde{p}^n.$$

Предобусловленные методы сопряженных направлений

Односторонне предобусловленный метод PCG ($\gamma = 1$):

$$\begin{aligned} \bar{u}^0 &= U_B u^0, \quad \bar{r}^0 = \bar{p}^0 = L_B^{-1} r^0, \quad r^n = L_B^{-1} r^n, \quad r^n = f - Au^n, \quad p^0 = B^{-1} r^0, \\ u^{n+1} &= u^n + \alpha_n p^n, \quad \alpha_n = \sigma_n / \rho_n, \\ r^{n+1} &= r^n - \alpha_n A p^n, \quad \sigma_n = (B^{-1} r^n, r^n), \quad \rho_n = (A p^n, p^n), \\ p^{n+1} &= B^{-1} r^{n+1} + \beta_n p^n, \quad \beta_n = \sigma_{n+1} / \sigma_n. \end{aligned}$$

Модифицированный вариант с рекурсивным определением коэффициентов ρ_n :

$$\begin{aligned} \rho_{n+1} &= (A p^{n+1}, p^{n+1}) = (AB^{-1} r^{n+1}, B^{-1} r^{n+1}) + 2\beta_n (B^{-1} r^{n+1}, A p^n) + \beta_n^2 (A p^n, p^n) = \\ &= \gamma_{n+1} - 2\beta_n / \alpha_n (B^{-1} r^{n+1}, r^{n+1}) + \beta_n^2 \rho_n = \gamma_{n+1} + \beta_n^2 \rho_n (1 - 2\sigma_n), \\ \gamma_{n+1} &= (AB^{-1} r^{n+1}, B^{-1} r^{n+1}), \quad \sigma_{n+1} = (B^{-1} r^{n+1}, r^{n+1}). \end{aligned}$$

Одновременное вычисление γ_{n+1} и σ_{n+1} !

Предобусловленные методы сопряженных направлений

Односторонне предобусловленный метод PCR ($\gamma = 2$):

$$\tilde{u}^0 = u^0 = U_B^{-1}\bar{u}^0, \tilde{r}^0 = \tilde{p}^0 = B^{-1}r^0 = B^{-1}(f - Au^0),$$

$$\tilde{u}^{n+1} = \tilde{u}^n + \alpha_n \tilde{p}^n, \quad \alpha_n = \sigma_n / \rho_n, \quad \sigma_n = (A\tilde{p}^n, \tilde{p}^n)$$

$$\tilde{r}^{n+1} = \tilde{r}^n - \alpha_n B^{-1}A\tilde{p}^n, \quad \rho_n = (B^{-1}A\tilde{p}^n, A\tilde{p}^n),$$

$$\tilde{p}^{n+1} = \tilde{r}^{n+1} + \beta_n \tilde{p}^n, \quad \beta_n = \sigma_{n+1} / \sigma_n,$$

$$\bar{u}^n = U_B^{-1}\tilde{u}^n, \quad \bar{r}^n = U_B^{-1}\tilde{r}^n, \quad \bar{p}^n = U_B^{-1}\tilde{p}^n.$$

Рекурсивное вычисление коэффициентов ρ_n :

$$\rho_{n+1} = (B^{-1}A\tilde{p}^{n+1}, A\tilde{p}^{n+1}) = \gamma_{n+1} + 2\beta_n(B^{-1}A\tilde{r}^{n+1}, A\tilde{p}^n) + \beta_n^2\rho_n =$$

$$= \gamma_{n+1} - 2\beta_n/\alpha_n(B^{-1}A\tilde{r}^{n+1}, A\tilde{r}^{n+1}) + \beta_n^2\rho_n = \gamma_{n+1} + \beta_n^2\rho_n(1 - 2\sigma_n\kappa_{n+1}),$$

$$\gamma_{n+1} = (B^{-1}A\tilde{r}^{n+1}, A\tilde{r}^{n+1}), \quad \kappa_{n+1} = (B^{-1}A\tilde{r}^{n+1}, \tilde{r}^{n+1}), \quad \sigma_{n+1} = (A\tilde{r}^{n+1}, \tilde{r}^{n+1}).$$

Одновременное определение γ_{n+1} , κ_{n+1} и σ_{n+1} !

Классификация узлов сетки

$$Au = f, \quad A = \{a_{t,s}\} \in \mathcal{R}^{N,N}, \quad u = \{u_t\}, \quad f = \{f_t\} \in \mathcal{R}^N,$$

$$\Omega_1^h : x_{i+1} = x_i + h, \quad y_{j+1} = y_j + h, \quad z_{k+1} = z_k + h; \quad i, j, k = 0, 1, 2, \dots,$$

$$\Omega_2^h : x_{i+2} = x_i + 2h, \quad y_{j+2} = y_j + 2h, \quad z_{k+2} = z_k + 2h; \quad i, j, k = 0, 2, 4, \dots,$$

$$\Omega_1^h = \Omega_1^1 \cup \Omega_1^2 \cup \Omega_1^3 \cup \Omega_1^4, \quad \Omega_1^4 = \Omega_2^h$$

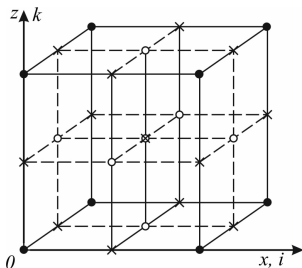


Рис. 1: Обозначения узлов двухуровневого метода на кубических сетках

Блочная структура СЛАУ

$$A^{(l)}u^{(l)} = f^{(l)}, \quad l = 1, 2$$

$$(Au)_{i,j,k} = 6u_{i,j,k} - u_{i-1,j,k} - u_{i,j-1,k} -$$

$$-u_{i+1,j,k} - u_{i,j+1,k} - u_{i,j,k-1} - u_{i,j,k+1} = f_{i,j,k},$$

$$i = 1, 2, \dots, N_x; \quad j = 1, 2, \dots, N_y; \quad k = 1, 2, \dots, N_z;$$

$$Au = \begin{bmatrix} A_{1,1} & A_{1,2} & 0 & 0 \\ A_{2,1} & A_{2,2} & A_{2,3} & 0 \\ 0 & A_{3,2} & A_{3,3} & A_{3,4} \\ 0 & 0 & A_{4,3} & A_{4,4} \end{bmatrix} \begin{bmatrix} \bar{u}_1 \\ \bar{u}_2 \\ \bar{u}_3 \\ \bar{u}_4 \end{bmatrix} = \begin{bmatrix} \bar{f}_1 \\ \bar{f}_2 \\ \bar{f}_3 \\ \bar{f}_4 \end{bmatrix},$$

$$u, f \in \mathcal{R}^N, \quad N = N_1 N_y N_z,$$

$$\bar{u}_s, \bar{f}_s \in \mathcal{R}^{N_s}, \quad s = 1, 2, 3, 4$$

Рекурсивные СЛАУ на вложенных структурах

$$\Omega^h = \Omega_1^h = \hat{\Omega}_2^h \cup \check{\Omega}_1^h, \quad \check{\Omega}_1^h = \Omega_2^h,$$

$$u = u^{(1)} = ((\hat{u}^{(1)})^\top, (\check{u}^{(1)})^\top)^\top, \quad \check{u}^{(1)} = u^{(2)}.$$

$$\Omega^h = \Omega_1^h = \hat{\Omega}_1^h \cup \hat{\Omega}_2^h \dots \cup \hat{\Omega}_{m-1}^h \cup \Omega_m^h,$$

$$u = u^{(1)} = ((\hat{u}^{(1)})^\top, (\hat{u}^{(2)})^\top, \dots, (\hat{u}^{(m-1)})^\top, (u^{(m)})^\top),$$

$$\Omega_l^h = \hat{\Omega}_l^h \cup \check{\Omega}_l^h, \quad \check{\Omega}_l^h = \Omega_{l+1}^h, \quad u^{(l)} = ((\hat{u}^{(l)})^\top, (\check{u}^{(l)})^\top)^\top, \quad \check{u}^{(l)} = u^{(l+1)}.$$

$$Au = \begin{bmatrix} A_{1,1} & A_{1,2} \\ A_{2,1} & A_{2,2} \end{bmatrix} \begin{bmatrix} \hat{u}^{(1)} \\ u^{(2)} \end{bmatrix} = \begin{bmatrix} \hat{f}^{(1)} \\ f^{(2)} \end{bmatrix}.$$

Блочная неполная факторизация

$$B = (G + L)G^{-1}(G + U), \quad G = D + \overline{LG^{-1}U},$$

$$B = \begin{bmatrix} G_1 & 0 & 0 & 0 \\ A_{2,1} & G_2 & 0 & 0 \\ 0 & A_{3,2} & G_3 & 0 \\ 0 & 0 & A_{4,2} & G_4 \end{bmatrix} \begin{bmatrix} G_1^{-1} & 0 & 0 & 0 \\ 0 & G_2^{-1} & 0 & 0 \\ 0 & 0 & G_3^{-1} & 0 \\ 0 & 0 & 0 & G_4^{-1} \end{bmatrix} \begin{bmatrix} G_1 & A_{1,2} & 0 & 0 \\ 0 & G_2 & A_{3,3} & 0 \\ 0 & 0 & G_3 & A_{3,4} \\ 0 & 0 & 0 & G_4 \end{bmatrix}$$

двухсеточный метод:

$$G_1 = A_{1,1}, \quad G_2 = A_{2,2} - (A_{2,1}G^{-1}A_{1,2})_1 - \theta S_2,$$

$$S_2 e = [A_{2,1}G_1^{-1}A_{1,2} - (A_{2,1}G_1^{-1}A_{1,2})_1]e$$

$$G_3 = A_{3,3} - (A_{3,2}G_2^{-1}A_{3,4})_1 - \theta S_3, \quad S_3 e = [A_{3,2}G_2^{-1}A_{2,3} - (A_{3,2}G_2^{-1}A_{2,3})_1]e,$$

$$G_4 = A_{4,4} - (A_{3,4}G_3^{-1}A_{3,4})_7 - \theta S_4, \quad S_4 e = [A_{4,3}G_3^{-1}A_{3,4} - (A_{4,3}G_3^{-1}A_{3,4})_7]e.$$

$$A = D + L + U, \quad D = D^T, \quad L = U^T, \quad Au = f$$

$$\bar{A}\bar{u} = \bar{f}, \quad \bar{A} = L_B^{-1}AU_B^{-1}, \quad \bar{u} = U_B u, \quad \bar{f} = L_B^{-1}f,$$

$$B = L_B U_B, \quad L_B = (G + L)U_G^{-1}, \quad G = L_G U_G, \quad U_G = L_G^T$$

$$\bar{A} = (I + \bar{L})^{-1} + (I + \bar{U}^{-1}) + (I + L)^{-1}(\bar{D} - 2I)(I + \bar{U})^{-1},$$

$$\bar{D} = L_G^{-1}DU_G^{-1}, \quad \bar{L} = L_G^{-1}LU_G^{-1}, \quad \bar{U} = L_G^{-1}UU_G^{-1}$$

$$\bar{A}v = (I + \bar{L})^{-1}[v + (\bar{D} - 2I)w] + w, \quad w = (I + \bar{U})^{-1}v,$$

$$Bv^n = r^n \equiv f - Au^n, \quad v^n = (v_1^n, v_2^n, v_3^n, v_4^n)$$

$$(G + L)w^n = r^n, \quad (G + U)v^n = Gw^n, \quad G = \text{diag}\{G_k\}$$

$$G_1 w_1^n = r_1^n, \quad k = 2, 3, 4 : G_k w_k^n = r_k^n - A_{k,k-1} w_{k-1}^n,$$

$$v_4^n = w_4^n, \quad k = 3, 2, 1 : v_k = w_k - G_k^{-1} A_{k,k+1} w_{k+1}^n.$$

$$u^{n+1} = u^n + v^n, \quad G_4 = A^{(2)} = L_A^{(2)} U_A^{(2)}$$

Структура многосеточного метода

$$(A^l u^{(l)})_t = a_t^{(l)} u_t + \sum_{q=1}^6 a_{t,t+s_{t,q}}^{(l)} u_{t+s_{t,q}}^{(l)} = \bar{f}_t, \quad (2)$$

$$t = 1, \dots, N_l, \quad l = 1, 2, \dots, m,$$

$$A^{(l)} u^{(l)} = f^{(l)}, \quad A^{(l+1)} u^{(l+1)} = f^{(l+1)}, \quad l = 1, \dots, m-1.$$

$$\Omega_l = \Omega_l^1 \cup \Omega_l^2 \cup \Omega_l^3 \cup \Omega_l^4, \quad \Omega_l^4 = \Omega_{l+1}$$

$$Au = \begin{bmatrix} A_{1,1}^{(l)} & A_{1,2}^{(l)} & 0 & 0 \\ A_{2,1}^{(l)} & A_{2,2}^{(l)} & A_{2,3}^{(l)} & 0 \\ 0 & A_{3,2}^{(l)} & A_{3,3}^{(l)} & A_{3,4}^{(l)} \\ 0 & 0 & A_{4,3}^{(l)} & A_{4,4}^{(l)} \end{bmatrix} \begin{bmatrix} \bar{u}_1^{(l)} \\ \bar{u}_2^{(l)} \\ \bar{u}_3^{(l)} \\ \bar{u}_4^{(l)} \end{bmatrix} = \begin{bmatrix} \bar{f}_1^{(l)} \\ \bar{f}_2^{(l)} \\ \bar{f}_3^{(l)} \\ \bar{f}_4^{(l)} \end{bmatrix},$$

Многосеточная неполная факторизация 1

$$\begin{aligned} B^{(l)} &= (G^{(l)} + U^{(l)})(G^{(l)})^{-1}(G^{(l)} + U^{(l)}) = \\ &= \begin{bmatrix} G_{1,1}^{(l)} & 0 & 0 & 0 \\ A_{2,1}^{(l)} & G_2^{(l)} & 0 & 0 \\ 0 & A_{3,2}^{(l)} & G_3^{(l)} & 0 \\ 0 & 0 & A_{4,3}^{(l)} & G_4^{(l)} \end{bmatrix} G^{(l)-1} \begin{bmatrix} G_1^{(l)} & A_{1,2}^{(l)} & 0 & 0 \\ 0 & G_2 & A_{2,3}^{(l)} & 0 \\ 0 & 0 & G_3^{(l)} & A_{3,4}^{(l)} \\ 0 & 0 & 0 & G_4^{(l)} \end{bmatrix} \end{aligned} \quad (3)$$

Многосеточная неполная факторизация 2

$$G_1^{(l)} = A_{1,1}^{(l)}, \quad G_2^{(l)} = A_{2,2}^{(l)} - (A_{2,1}^{(l)}(G_1^{(l)})^{-1}A_{1,2}^{(l)})_1 - \theta_2 S_2^{(l)},$$

$$S_2^{(l)} e_2 = [A_{2,1}^{(l)}(G_1^{(l)})^{-1}A_{1,2}^{(l)} - (A_{2,1}^{(l)}(G_1^{(l)})^{-1}A_{1,2}^{(l)})_1] e_2$$

$$G_3^{(l)} = A_{3,3}^{(l)} - (A_{3,2}^{(l)}(G_2^{(l)})^{-1}A_{2,3}^{(l)})_1 - \theta_3 S_3^{(l)}$$

$$S_3^{(l)} e_3 = [A_{3,2}^{(l)}(G_2^{(l)})^{-1}A_{2,3}^{(l)} - (A_{3,2}^{(l)}(G_2^{(l)})^{-1}A_{2,3}^{(l)})_1] e_3$$

$$G_4^{(l)} = A_{4,4}^{(l)} - (A_{4,3}^{(l)}(G_3^{(l)})^{-1}A_{3,4}^{(l)})_7 - \theta_4 S_4^{(l)}$$

$$S_4^{(l)} e_4 = [A_{4,3}^{(l)}(G_3^{(l)})^{-1}A_{3,4}^{(l)} - (A_{4,3}^{(l)}(G_3^{(l)})^{-1}A_{3,4}^{(l)})_7] e_4$$

Теорема 1

Теорема

Пусть матрица $A = A^{(1)}$ является стилтьесовой. Тогда матрицы $B^{(l)}$ и $G_4^{(l)} = A^{(l+1)}$ из (2), (3), $l = 1, 2, \dots, m$, также являются стилтьесовыми, причем для $v \in \mathbb{R}^{N_l}$ выполняются условия

$$\delta_l(B^{(l)}v, v) \leq (A^{(l)}v, v) \leq \Delta_l(B^{(l)}v, v),$$

где $0 \leq \delta_l \leq \Delta_l$, суть константы эквивалентности матриц, вычисляемые через коэффициенты соотношений (2), (3).

Теорема

В условиях теоремы 1 предобусловленные методы сопряженных направлений (1) сходятся, причем для выполнения условия $\|r^n\| \leq \epsilon \|f\|$ при заданном значении $\epsilon \ll 1$ число итераций оценивается величиной

$$n(\epsilon) \leq \sqrt{\kappa} [\log(2\epsilon^{-1})] / 2,$$

где κ – спектральное число обусловленности матрицы $B^{-1}A$.

Вычислительные эксперименты 1

В качестве тестового примера бралось уравнение Пуассона $\Delta u = f$ в единичном кубе с точным решением $u(x, y, z) = \sin(\pi x)\sin(\pi y)\sin(\pi z)$. Вектор правой части рассчитывался по формуле $f^h = \Delta^h u$, а начальное приближение бралось равным $u^0 = 0$. В Таблице 1 приводятся результаты решения сеточных СЛАУ с числами неизвестных $N = 3^3, 7^3, 15^3, 31^3, 63^3$ и со значением компенсирующего параметров $\theta_2 = \theta_3 = 1$. Здесь даны количество итераций для описанного выше двухсеточного метода, алгебраическая система на редкой сетке решалась “прямым алгоритмом” PARDISO из библиотеки MKL INTEL и для алгоритма сопряженных градиентов без предобуславливания, т.е. односеточного метода с $B = I$.

Вычислительные эксперименты 2

N	7^3	15^3	31^3	63^3	127^3
<i>B</i>	14	16	17	18	18
	0,001	0,004	0,062	0,685	8,667
<i>I</i>	26	44	77	108	109
	0,001	0,005	0,076	1,036	12,531

Таблица 1: Числа итераций и время итераций для двухсеточного и односеточного

N / m	1	2	3	4	5
127^3	276	18	38	75	136
	11.9	13.3	3.81	5.99	10.4
255^3	529	18	37	74	143
	239	202	50.4	59	110

Таблица 2: Таблица 3 из [18] для трехмерной задачи, где первая строка – число итераций, вторая строка – время выполнения

Вычислительные эксперименты 3

Точное решение $\bar{u}(i) = i$.

N	15^3	31^3	63^3	127^3
B	13 0,005	14 0,062	13 0,516	13 6,204
I	48 0,006	96 0,095	185 1,783	349 29,744

Таблица 3: точное решение \bar{u} и $\epsilon = 10^{-7}$

Вычислительные эксперименты 4

N	$15^3 - 9^3$	$31^3 - 17^3$	$63^3 - 33^3$	$127^3 - 65^3$
<i>B</i>	8 0,002	9 0,025	10 0,291	9 3,243
<i>I</i>	26 0,002	48 0,038	88 0,691	165 13,237
<i>vertex</i>	2,646	24,878	214,110	1,773,758

Таблица 4: Числа итераций и время итераций с точным решением \bar{u} и $\epsilon = 10^{-5}$

Вычислительные эксперименты 5

N	$15^3 - 9^3$	$31^3 - 17^3$	$63^3 - 33^3$	$127^3 - 65^3$
<i>B</i>	12 0,006	14 0,045	14 0,433	14 5,429
<i>I</i>	32 0,003	66 0,063	122 0,967	213 17,993
<i>vertex</i>	2,646	24,878	214,110	1,773,758

Таблица 5: Числа итераций и время итераций с точным решением \bar{u} и $\epsilon = 10^{-7}$

Вычислительные эксперименты 6

N	$15^3 - 9^3$	$31^3 - 17^3$	$63^3 - 33^3$	$127^3 - 65^3$
<i>B</i>	16 0,004	19 0,051	19 0,569	19 7,041
<i>I</i>	42 0,003	83 0,067	161 1,263	305 24,171
<i>vertex</i>	2,646	24,878	214,110	1,773,758

Таблица 6: Числа итераций и время итераций с точным решением \bar{u} и $\epsilon = 10^{-9}$

Вычислительные эксперименты 7

N	$127^3 - 57^3$	$127^3 - 77^3$	$127^3 - 97^3$	$127^3 - 117^3$
<i>B</i>	14	14	14	15
	5,425	4,257	2,611	0,842
<i>I</i>	247	204	130	53
	19,821	14,049	6,141	0,894
<i>vertex</i>	1,863,190	1,591,850	1,135,710	446,770

Таблица 7: Числа итераций и время итераций с точным решением \bar{u} и $\epsilon = 10^{-7}$, для разных полостей одного куба

Вычислительные эксперименты 8

θ	итерации
2	677
1,5	2997
1,01	73
1,001	15
1,0001	15
1,00001	14
1	14
0,99999	14
0,9999	15
0,999	16
0,995	17
0,75	35
0,5	40



СПАСИБО ЗА ВНИМАНИЕ!